

2.2.1 수용가 측에서의 모션 부하 탈락 지표(BLDI)

전력에 대한 부하구성 윈도우와 전압기록이 주어진 경우 각 시간 영역동안 등가 부하 탈락 지표는 다음과 같다.

$$\text{모션부하 탈락지표 (BLDI)} = \sum_{k=1}^m LDZ(k) \quad (1)$$

$$LDZ(k) = \sum_{i=1}^n P(u_i) \times \text{탈락부하비율}(LDP_i) \quad (2)$$

단 u_i : 이상전압영역상 한점의 에너지값

$P(u_i)$: 에너지 영역에서의 부하탈락 확률

부하 탈락의 확률을 각 불허용 영역에서 1로 가정하면

$$BLDI(i) = \text{각 영역 } N_i \text{에서의 사건 수} \times \text{부하 탈락 비율} (\rho_{Li}) \quad (3)$$

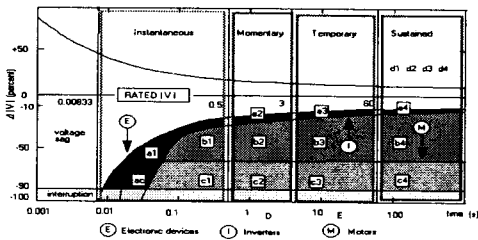


그림 2 복합 부하 모션에서 sag와 차단에 의한 부하 차단영역
Fig.2 Load drop areas considering various kinds of CBEMA curve

2.2.2 전력품질의 가격

IEEE 1159 의 각 시간계급에 대해 BLDI 값을 알면, 각 수용가에 대한 전력품질 가격을 계산할 수 있다. Billington, Sullivan 등은 부하차단의 시간 및 임중별로 차단비용을 연구하였으며[12, 13], 그 대표적인 비용은 표 8과 같다.

표 3 전력 차단 평균 비용

Table 3. Average power interruption cost

| 시간구분 | 평균단가 (US \$ / kW) [12] |
|---------------|---------------------------|
| Instantaneous | 0.078 |
| Momentary | 0.176 |
| Temporary | 1.22 |
| Sustained | 3.63 |

표 3의 자료들을 BLDI의 모션부하탈락횟수와 조합하여 계산한 결과 모션 전력품질 가격(BPQC : Bus Power Quality Cost)을 얻을 수 있다.

$$BPQC = \sum_{k=1}^m C_k \times BLDI(k) \quad (4)$$

3. 사례연구

3.1 모션에 대한 전압품질과 부하탈락모형

전력시스템에서 수용가들은 자주 주거용, 상업용, 소산업용, 대산업용으로 분류된다. 총 부하전력 P[kW]인 모션에서 수용가들의 구성비가 표 4와 같이 주어졌다고 하자.

표 4 모션에 접속된 수용가 구성비

Table 4. Load composition data for a load bus

| 수용가 유형 [%] | 주거용 U_r | 상업용 U_c | 소산업용 U_{s1} | 대산업용 U_{s2} |
|---------------|--------------|--------------|------------------|------------------|
|---------------|--------------|--------------|------------------|------------------|

또 각 유형의 수용가들의 부하 구성은 전형적인 부하 구성윈도우로 나타낼 수 있다고 하자. 이들 데이터와 각종 CBEMA 전력허용곡선을 가지고 있다면, 매 모션별로 BLDI와 BPQC를 산출할 수 있다.

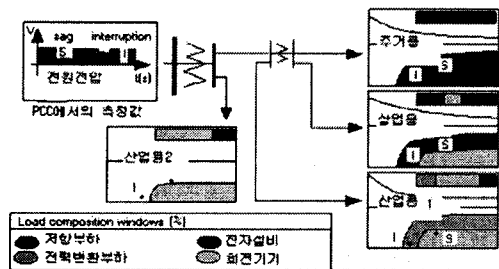


그림 3 전력품질 지표와 가격 계산 개념도

Fig. 3 conceptual Diagram of BLDI and BPQC calculation

3.2. 계통에 대한 적용

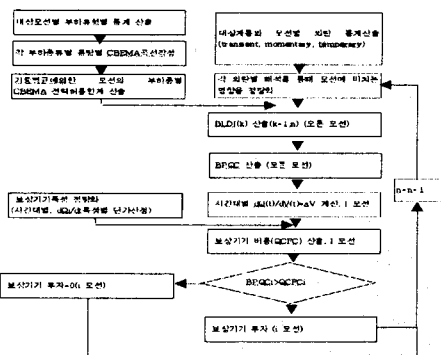


그림 4 전력계통에 대한 품질의 측정과 보상기기의 적용절차

Fig 4 procedure of Power quality compensation

이상의 방법으로 산출한 모션별 품질지표인 BLDI와 BPQC를 전력계통에서 적용하기 위한 과정은 그림 4와 같다. 시간대에 유효한 품질 보상기기들은 다음과 같다.

표 5 품질보상기기의 특성

Table 5. Power quality compensator characteristics

| 적용시간구분 | 보상기기 | 가격 |
|---------------|--------------------------------|----|
| Instantaneous | DVR, DSTATCON, SMES, BASS, UPS | 고 |
| Momentary | SVC, SC | 중 |
| Temporary | Switched Cap, OLTC | 저 |
| Sustained | 비상발전기 | 저 |

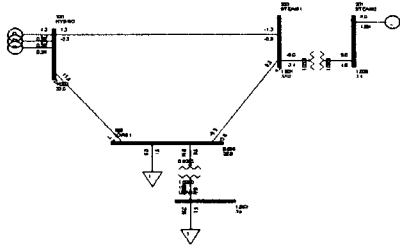


그림 5 적용 모의계통

적용계통은 그림5의 5모선 계통으로 하였다.

표 6 모의계통의 모선부하

| 모선부하 | 모터부하[MW] | 변환기 부하 |
|------|----------|--------|
| 150 | 0.3 | 0 |
| 151 | 0 | 0.6 |

위 계통에서 부하모선인 150, 151모선의 부하에 대한 종합 CBEMA 곡선의 특성한계식이 다음과 같이 주어진다 고 하자.

$$V_{end_{150}} = 0.575 - 0.425e^{-1800T} - 0.57e^{-2.931T} \quad (5)$$

$$V_{end_{151}} = 0.87 - 0.288e^{-1.06T} - 0.712e^{-23.7T} \quad (6)$$

IEEE1159의 각 시간 범위에 있는 전압의란들에 대한 부하탈락확률은 평가기간 중 해당모선의 전압이 탈락범위에 있을 확률로 주어진다. 각 모선의 고장데이터는 다음과 같이 가정하였다.

표7. 모의계통에 작용한 고장기록

| 모선번호 | 순간회복 | 재페로1회성공 | 재페로2회성공 | 영구고장 | |
|------|------|---------|---------|------|----|
| 100 | 3LG | 10 | 60 | 20 | 10 |
| 150 | 3LG | 10 | 60 | 20 | 10 |
| 151 | 3LG | 10 | 60 | 20 | 10 |
| 200 | 3LG | 10 | 60 | 20 | 10 |
| 201 | 3LG | 10 | 60 | 20 | 10 |

각 case에 대해 고장계산을 수행한 결과는 다음과 같다.

표 8. 모의계통 고장계산결과

| 고장모선 | 모선 전압[pu] | | | | |
|------|-----------|-------|-------|-------|-------|
| | 100 | 150 | 151 | 200 | 201 |
| 100 | 0.068 | 0.079 | 0.067 | 0.100 | 0.390 |
| 150 | 0.077 | 0.037 | 0.030 | 0.075 | 0.374 |
| 151 | 0.230 | 0.195 | 0.029 | 0.229 | 0.483 |
| 200 | 0.074 | 0.052 | 0.043 | 0.036 | 0.346 |
| 201 | 0.095 | 0.067 | 0.038 | 0.173 | 0.030 |

고장계산 결과 대부분의 전압이 interruption 영역에 존재하며, sag의 범위(0.1-0.9pu)에 드는 고장은 부하모선 151에서 고장이 발생하였을 경우 150모선의 전압뿐이었다. 재페로 2회 실패 이후의 전압을 계산한 결과 0.9이하로 저하되는 값은 없었다. 또, 모선고장에 의한 모선전압의 변동시간은 그림6과 같이 계통보호 시퀀스에 따라 달라지므로 이를 고려하면 각 모선의 대한 시간영향을 고려할 수 있게 된다.

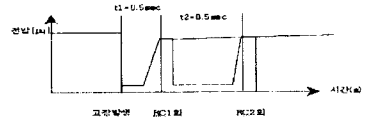
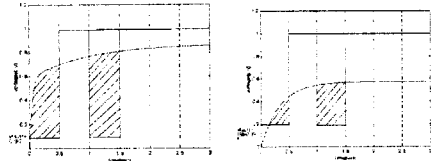


그림 6 계전기동작 시퀀스



(a) 150모선 (a) 151모선
그림 7 전력허용곡선상의 부하탈락영역

따라서 고장에 대해 순간회복을 제외하고는 모든 고장에 대하여 각 모선의 전압저하가 다음 영역 아래에 있으므로 부하가 탈락하게 되는 현상을 가져오게 된다. 그러므로 각 시간에 대한 BLDI(i)는

표 9 모선의 BLDI 의 값

| 모선번호 | Instant(건) | moment(건) | temp(건) | sustain(건) |
|------|------------|-----------|---------|------------|
| 150 | 0 | 0 | 0 | 90 |
| 151 | 0 | 0 | 0 | 90 |

이며, 이 모선에 대한 BPQC는

표 11 모선의 BPQC

| 모선번호 | BPQC [S] |
|------|----------|
| 150 | 98,100 |
| 151 | 196,200 |

로 산출된다.

4. 결 론

전력산업 발달로 인하여 전력품질에 대한 관심이 높아지고 있으며, sag에 의한 전압품질저하는 산업체의 중요한 관심사라 할 수 있다. 본 논문에서는 전력허용곡선과 외란 기록에 의해 모선별 전력품질지표와 품질가격을 계산하였다. 그 결과는 다음과 같다.

1. 전력품질지표의 산출을 위해서는 각 부하종류에 대한 전력허용곡선의 산출이 중요하다.
2. 공급전력의 품질을 측정은 전력공급지점에 인가되는 전압의 값을 측정가능하여야 한다. 이때 보호제어장치 및 보상장치의 특성도 함께 고려되어야 한다
3. 모의 고장에 의한 전력품질지표를 계산한 결과, 순간고장에는 피해가 없으나, 재페로에 대한 이익은 없었다. 이는 부하특성이 0.5초이내의 짧은 시간내의 정전이라도 부하가 탈락한 이후 재페로되기 때문이다.

[참 고 문 헌]

- [1] 이근준, "부하의 전압특성을 고려한 모선별 전력품질 지표 및 가격산정기법", 대한전기학회 논문지 52A-4-4, 2003년 4월, pp213-218
- [2] "Analysis and design of power acceptability curves for industrial loads", John Key, Master thesis of ASU, December, 2001